性病变做出较明确的诊断,但无法评估眼外肌硬度是否发生变 化。以往文献[3-4]多集中于研究眼外肌厚径与甲状腺相关眼 病、眼外肌厚径及眼球运动的关系。 近年来,SWE 作为一项新 兴的影像技术,对无创、定量检测软组织硬度有着独特优势,目 前多运用在肝脏、乳腺、甲状腺及前列腺等器官检测中。然而, SWE 在眼外肌中应用较少,导致超声医师评估正常成人眼外肌 Emean 时缺乏参考。本研究拟建立正常成人眼外肌 Emean 范 围,并分析年龄、身高、体质量、眼外肌厚度与 Emean 的相关性。

本研究结果显示,正常成人上直肌Emean为(8.04±2.56)kPa, 下直肌Emean为(8.14±2.61)kPa,外直肌Emean为(8.35±2.51)kPa, 内直肌 Emean 为(8.39±2.63)kPa;为进一步精确正常成人眼外 肌 Emean 的参考范围,明确其影响因素,应进行大样本多中心 研究。另外,各年龄组同一眼外肌 Emean 值比较差异均有统计 学意义(均P<0.05),且随着年龄增加眼外肌 Emean逐渐增加, 与Yuksel等[5]研究结果相似,表明年龄的增加使眼外肌内脂肪 及纤维组织逐渐增加,肌纤维束压力增高,眼外肌 Emean 随之 增大。本研究还发现体质量及眼外肌厚径与眼外肌Emean呈 正相关,与Zemanová^[6]研究结果一致,分析原因可能是眼外肌 厚径越大肌内膜成纤维细胞越多,眼外肌肌束分布越密集,使 得眼外肌 Emean 值越高。因此,可通过建立正常成人眼外肌 Emean 范围,对眼外肌疾病评估进行详细分析。

本研究的局限性:①收集样本时间较短,排除15岁以下人 群,涵盖范围不全面;②因国内外对正常成人眼外肌弹性值的 研究较少,故本研究所得的参考值范围缺乏对比性;③眼外肌 位置表浅,在测量中不可避免受到外力因素影响。

总之,SWE可用于定量评估眼外肌弹性,为临床医师诊断及 鉴别诊断眼外肌疾病提供参考,具有一定临床应用价值。

参考文献

- [1] Li Y, Wei Q, Le A, et al. Rectus extraocular muscle paths and staphylomata in high myopia [J]. Am J Ophthalmol, 2019, 201(1): 37-45.
- [2] Jiang W, Huang S, Teng H, et al. Diagnostic performance of twodimensional shear wave elastography for evaluating tibial nerve stiffness in patients with diabetic peripheral neuropathy [J]. Eur Radiol, 2019, 29(5): 2167-2174.
- Chang M, Baek S, Lee TS. Long-term outcomes of unilateral orbital fat decompression for thyroid eye disease [J]. Graefes Arch Clin Exp Ophthalmol, 2013, 251(3): 935-939.
- [4] Li O, Ye H, Ding Y, et al. Clinical characteristics of moderate-tosevere thyroid associated ophthalmopathy in 354 Chinese cases [J]. PLoS One, 2017, 12(5): e0176064.
- [5] Yuksel N, Unal O, Mutlu M, et al. Real-time ultrasound elastographic evaluation of extraocular muscle involvement in Graves' ophthalmopathy[J].Orbit, 2020, 39(3):160-164.
- Zemanová M. Usage of shear wave elastography for diagnosis of changes of oculomotor muscles in endocrine orbitopathy[J]. Cesk Slov Oftalmol, 2019, 75(1): 14-24.

(收稿日期:2019-12-19)

• 病例报道•

Ultrasonic misdiagnosis of inverted papilloma of bladder: a case report 超声误诊膀胱内翻性乳头状瘤 1 例

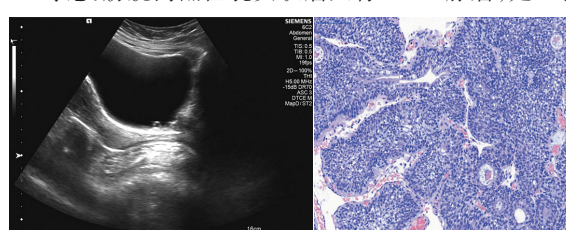
张 悦 王少春

「中图法分类号]R445.1:R737.14

「文献标识码]B

患者女,70岁。因排尿不畅1年余就诊。超声检查:膀胱 后壁近尿道内口处见一大小约 0.9 cm×0.6 cm×0.6 cm 囊性结 节,界清,透声可(图1);其内未探及明显血流信号。超声提示: 膀胱内囊性结节,输尿管末端囊肿可能。膀胱镜检查提示:膀 胱占位。手术所见:膀胱三角区见一水草样肿物,蒂细,长颈约 1.5 cm。术后病理诊断:膀胱内翻性乳头状瘤(图2)。

讨论:膀胱内翻性乳头状瘤又称Brunn腺瘤,是一种少见



声增强,内部呈无回声

图1 声像图示肿瘤表面部分回 图2 膀胱内翻性乳头状瘤病理 图(HE染色,×200)

的、以内翻性生长为特征的尿路上皮良性肿瘤,好发于膀胱三 角区及膀胱颈部。临床多表现为形态规则的带蒂乳头状肿块, 表面较光滑;镜下见瘤组织表面被覆正常的尿路上皮,增生的上 皮巢向下凹陷呈内生性生长,无明显纤维血管结构。典型超声 表现为较均匀的高回声或略强回声,彩色多普勒多以乏血流信 号为主。而本例患者声像图表现为囊性结节,表面呈强回声,内 部呈无回声,未探及血流信号;表面形成的强回声可能是由于乳 头粗大,多个界面反射形成,内部的无回声是由于肿瘤细胞所形 成的结构中含有大量微囊,使回声减弱或消失[1]。本例误诊原 因为临床医师对膀胱内翻性乳头状瘤的认识不足,对于生长在 膀胱三角区或膀胱颈部、表面光滑的肿物,应考虑本病可能。

参考文献

[1] 宗绍云,陶志鹏,丁龙垲.膀胱内翻性乳头状瘤的腔内声像图[J]. 中华超声影像学杂志,1994,3(4):176-177,195.

(收稿日期:2019-04-26)